

Электронная структура и оптические свойства твердого раствора  $(Ge_2)_{1-x}(InP)_x$ Ш.К. Исмаилов<sup>1</sup>, А. С. Саидов<sup>2</sup>, С. Каражанов<sup>2</sup>, Д.М. Сапаева<sup>1</sup>Ургенчский государственный Университет<sup>1</sup>Физико-технический институт АН РУз<sup>2</sup>

Ранее нами был получен твердый раствор  $(Ge_2)_{1-x}(InP)_x$  из класса  $(C_2^{IV})_{1-x}(A^3B^5)_x$  [1,2] методом жидкофазной эпитаксии. В данной работе приведены результаты теоретических исследований зонной структуры и оптических свойств твердого раствора  $(Ge_2)_{1-x}(InP)_x$  методом самосогласованного псевдопотенциала с помощью теории функционала плотности в рамках локальной плотности заряда для твердых растворов  $(Ge_2)_1(InP)_0$ ,  $(Ge_2)_{0,5}(InP)_{0,5}$ ,  $(Ge_2)_{0,25}(InP)_{0,75}$  и  $(Ge_2)_0(InP)_1$ . Результаты расчетов зонной структуры твердого раствора  $(Ge_2)_{1-x}(InP)_x$  для этих составов приведен на рис 1. Аналогичное исследование проведено в [3] для твердого раствора  $(Ge_2)_{1-x}(AsGa)_x$  методом линейная комбинация атомных орбиталей.

Как отмечалось в работе [2] твердый раствор  $(Ge_2)_x(InP)_{1-x}$  кристаллизуется в решетку цинковой обманки (типа сфарелита). Параметр решетки (a) зависит от состава x. В данной работе мы рассматривали компонентные составы  $x=0.25$  и  $x=0.5$  с параметрами решетки  $a=5.743$  Å и  $a=5.673$  Å соответственно. Для этой цели рассмотрена элементарная ячейка, состоящая из восьми атомов, из которых один атом In в точке (0,0,0) и один атом P в (a/4,a/4,a/4) заменены атомом Ge. Другие же атомы In и P расположены в точках (a/2,a/2,0.0) (a/2,0.0,a/2) (0.0,a/2,a/2) и (3a/4,3a/4,a/4) (3a/4,a/4,3a/4) (a/4,3a/4,3a/4), соответственно. Процесс роста такого кристалла начинается от поверхности Ge.

Для тестирования использованной в данной работе компьютерной программы проведен расчет зонной структуры полупроводников Ge и InP. Сравнение результатов расчета зонной структуры этих полупроводников и приведенных в литературе показывает, что основные свойства этих кристаллов отражены правильно. Однако ширина запрещенной зоны рассчитывается неправильно, что связано с широко известным в научной литературе недостатком теории функционала плотности (см например [4]).

На рис. 1 (a) и (b) приведены зонные структуры  $(Ge_2)_x(InP)_{1-x}$  для (a)  $x=0,25$  и (b)  $x=0.50$ . Точками нарисована энергия Ферми, ниже которой все уровни заполнены электронами. Все уровни выше энергии Ферми – пустые, т.е. в равновесных условиях на них нет электронов.



При  $x=0,25$  вблизи уровня Ферми  $E_F$  является похожей по форме на зонную структуру Ge. Верхний край валентной зоны приходится на  $\vec{k}=0$ , а нижний край зоны проводимости не соответствует точке  $\vec{k}=0$ , т.е. твердый раствор этого состава является не прямозонной. При  $x=0.5$  верхний край валентной зоны и нижний край зоны проводимости расположены вдали центральной точки  $\vec{k}=0$  зоны Бриллюэна.

Для выяснения роли d-электронов атомов Ge и In проведено исследование зонной структуры включая d-электроны в остов и в валентный комплекс. Показано, что энергетический уровень d-электронов находятся намного ниже по сравнению с s-зоной. Это означает, что включение d-электронов в рассмотрение не вносит существенную коррективу в электронные свойства твердых растворов  $(Ge_2)_x(InP)_{1-x}$ .

Проведено сравнение дисперсии для случаев, когда спин-орбитальное взаимодействие включено в рассмотрение и когда оно пренебрегается. Показано, что спин-орбитальное взаимодействие в данном случае не играет существенную роль в электронных свойствах исследуемых твердых растворов.

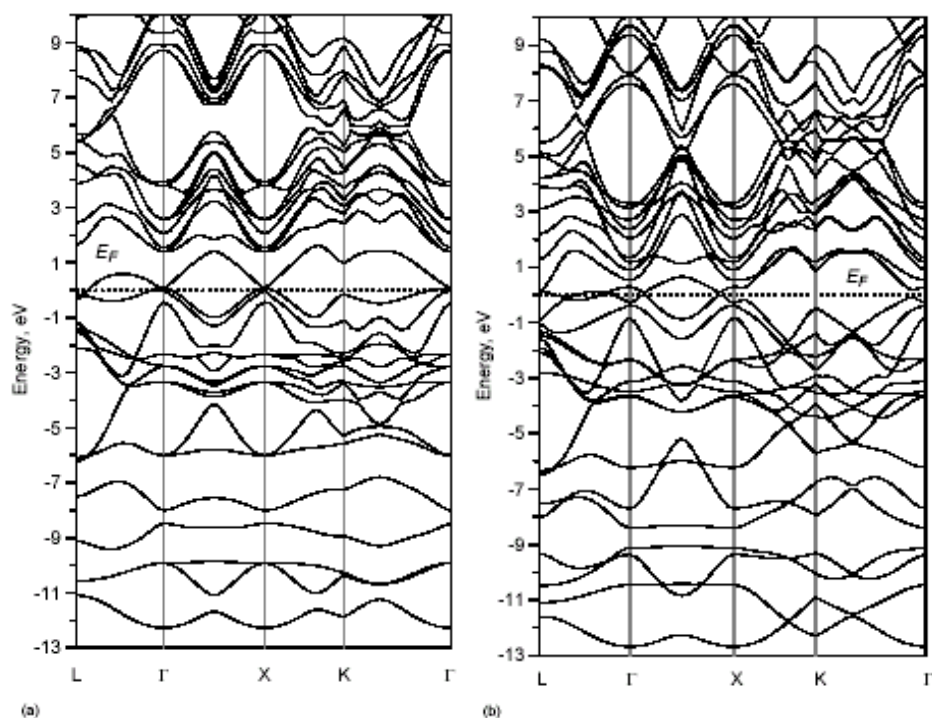


Рис.1. зонная структура твердого раствора  $(Ge_2)_{1-x}(InP)_x$  для составов (a)  $x=0,5$  и (b)  $x=0,75$  соответственно.

Как известно, фотоны обладающие достаточной энергией, могут возбуждать электроны из валентной зоны в зону проводимости. Вследствие этого оптические спектры полупроводников является источником богатой информации об их электронных свойствах. Во многих полупроводниках фотоны также могут взаимодействовать с колебаниями решетки и электронами в дефектах.



Поэтому мы исследовали некоторых оптических свойств твердых растворов  $(Ge_2)_{1-x}(InP)_x$  в рамках приближения локальной плотности заряда.

Для тестирования метода нами был получен спектральные зависимости оптических констант:  $\epsilon_1$ ,  $\epsilon_2$ ,  $n(w)$ ,  $n(w)$ ,  $k(w)$ ,  $R$ ,  $\alpha$  для Ge и InP в интервале энергий от 0 до 20 эВ. Полученные результаты вычислений сопоставлялись с экспериментальными данными [5] соответствующих величин. Результаты сопоставления диэлектрических функций ( $\epsilon_1$ ,  $\epsilon_2$ ) для Ge и InP приведена в рис.2.

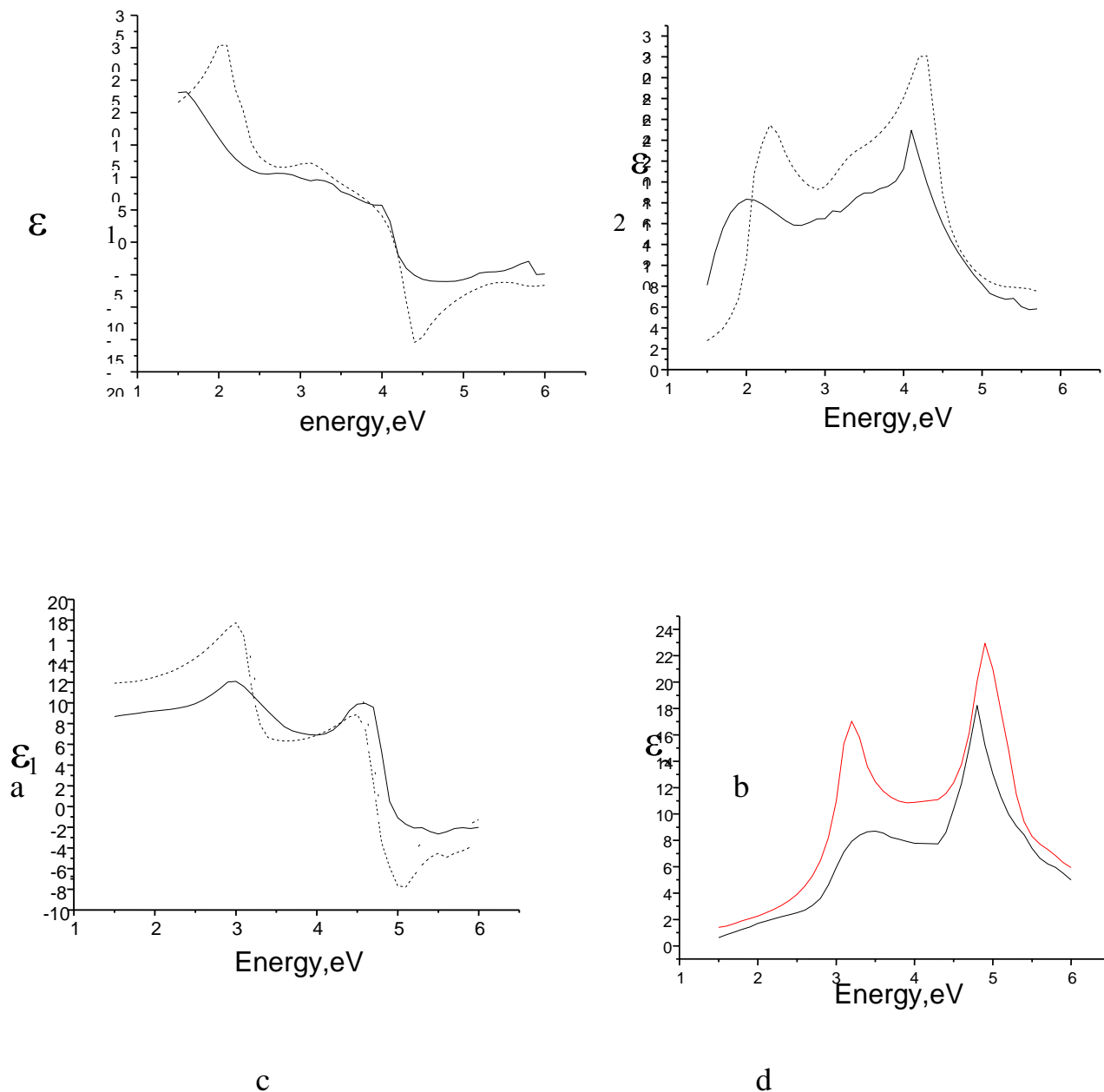


Рис. 2 Сравнение экспериментальной и расчетной диэлектрических функций ( $\epsilon_1$  –реальной часть,  $\epsilon_2$  –мнимая часть) Ge (a, b) и InP(c, d) Сплошная линия - теория, пунктир - эксперимент (2)



Как видна из рис. 2 во всех случаях наблюдается вполне хорошее согласие между теорией и экспериментом. В форме мнимой части диэлектрических функций имеется много общего. Как известно, подъём  $\varepsilon_2$  связан переходами между абсолютным максимумом валентной зоны и минимумом зоны проводимости. В полупроводниках цинковой обманки эти переходы обычно происходит между валентной зоной  $\Gamma_{40}$  и зоной проводимости  $\Gamma_{1c}$  и обозначаются как  $E_0$ . За  $E_0$  следует пик  $E_1$  связанный с переходами происходящий вдоль направления  $\langle 111 \rangle$ .  $\varepsilon_2$  достигает абсолютного максимума за счет переходов приходящих в широком области зоны Бриллюэна вблизи границ в направления  $\langle 100 \rangle$  и  $\langle 110 \rangle$ .

Подобный сходства экспериментальных и расчетных оптических констант  $G_e$  и  $\text{InP}$  наблюдались не только для  $\varepsilon_1$ ,  $\varepsilon_2$  а также для  $n(\omega)$ ,  $l(\omega)$   $n(\omega)$  и  $k(\omega)$

Приведенные выше результаты показывает, что метод ПЛП довольно хорошо описывает спектральные зависимости оптических констант  $G_e$  и  $\text{InP}$

Затем мы вычислили спектральные зависимости оптических констант твердого раствора  $(\text{Ge}_2)_{1-x}(\text{InP})_x$  для составов  $x=0,25$  и  $x=0,5$  в интервале энергий от 0 до 20 эВ результаты вычислений диэлектрических функций даны в рис.3

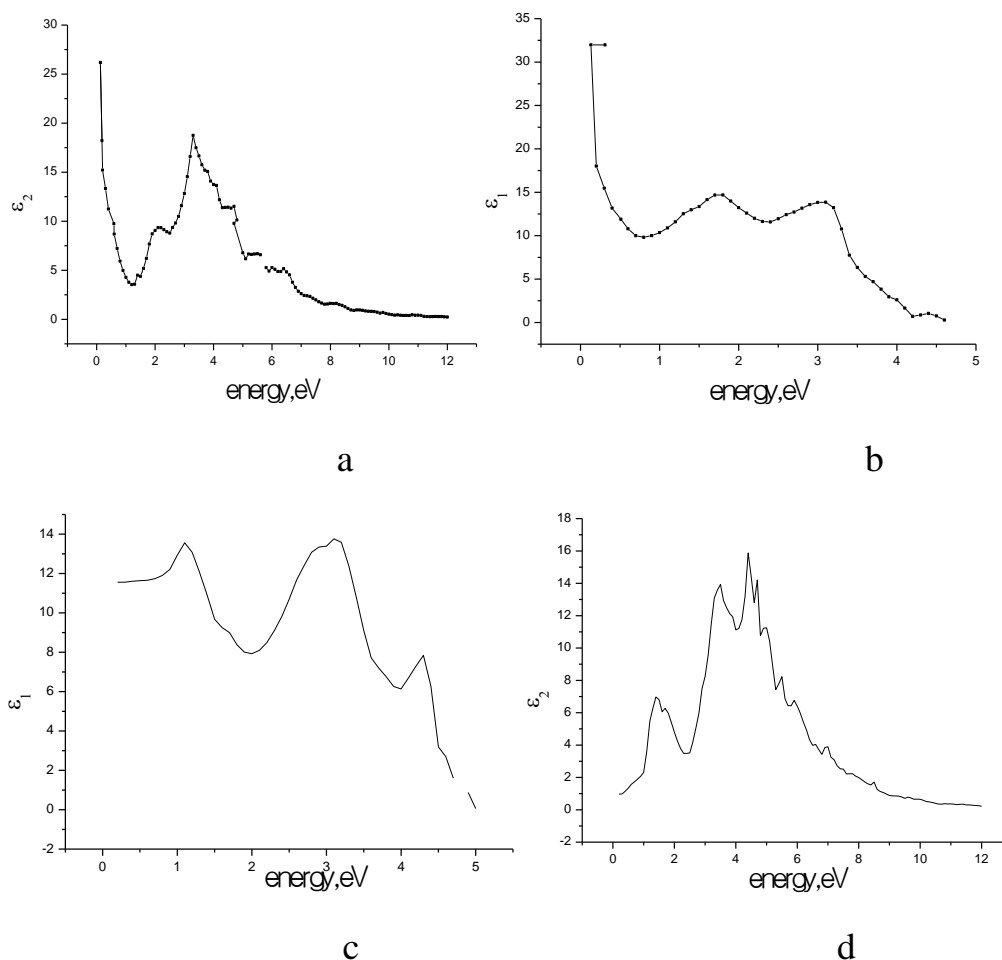


Рис 3. Спектральные зависимости диэлектрических функций ( $\varepsilon_1$   $\varepsilon_2$ ) твердого раствора  $(\text{Ge}_2)_{1-x}(\text{InP})_x$  для составов  $x=0,25$  (a,b)  $x=0,5$  (c,d)



По этим данным можно судит о возможных переходах из валентной оны в зону проводимости  $(\text{Ge}_2)_{1-x}(\text{InP})_x$

### Литература:

1. А. С.Саидов, Э А.Кошчанов Ш.К. Исмаилов А Ш Раззаков. Письма в ТФ, 1999, том 25, вып.24 стр. 37-40.
2. А. С.Саидов, Э А. Кошчанов, Ш.К. Исмаилов, А Ш Раззаков. Труды международной конференции, посвященной 90-летию С.А.Азимова. стр.353-355.Ташкен-2004г.
3. А.И Губанов, А.М.Полубатко. Физика полупроводников. вып.4, 1982г. стр.753-754
4. Питер Ю , М.Кардона Физика полупроводников. Москва. Наука. 2003 г. стр. 71.
5. Гавриленко В. и др. “Оптические свойства полупроводников” Справочник, Киев,1987г. стр. 243-250.